

МУЛЬТИФРАКТАЛЬНЫЙ АНАЛИЗ ЦИФРОВЫХ ИЗОБРАЖЕНИЙ

Н.Г. Макаренко, И.С. Князева

Статья содержит изложение методов микроканонического варианта мультифрактального формализма. На уровне технической строгости обсуждаются его возможности в применении к анализу и реконструкции цифровых изображений.

Ключевые слова: Фракталы, мультифрактальный анализ, цифровые изображения.

Не буду заморачивать тебя подробностями,
потому что ты можешь...

– Могу что?

– Можешь заморочиться.

Дуглас Адамс. Жизнь, Вселенная и Вообще

Введение

Фракталом называют множество, которое можно представить как композицию или *коллаж* своих уменьшенных копий [1]. Каждая из копий получается применением к исходному компактному множеству конечного набора линейных сжимающих отображений IFS (*iterated function system*), дополненных, возможно, вращениями и трансляциями. По теореме Банаха о неподвижной точке в пространстве компактов, IFS имеет единственную неподвижную «точку» или аттрактор IFS [1–4]. Если образы IFS не пересекаются, то аттрактор может быть несвязным компактным объектом с дробной размерностью, то есть фракталом. Представим себе, что каждая итерация IFS эквивалентна нанесению черной краски (массы меры) на носитель. Тогда предельным образом будет черно-белая геометрическая фигура, такая, например, как ковер Серпиньского. Предположим теперь, что каждое из IFS выбирается с фиксированной вероятностью. В этом случае раскраска аттрактора будет репродуцировать себя в шкале «уровней серого» на различных, все более уменьшающихся масштабах, следуя заданному распределению вероятностей. В результате получится единственная самоподобная инвариантная мера IFS на аттракторе в силу той же самой теоремы Банаха, но уже в пространстве борелевых мер с метрикой Монжа–Канторовича [1, 2, 4]. Такую меру называют *мультифрактальной*, потому что она состоит из фрактальных компонент разной размерности.

Для того чтобы описать локальную изменчивость мультифрактального узора, используют понятие регулярности функции, адаптированное к мере. Эвристическая идея измерения регулярности заключается в том, что мы исследуем локальное изменение функции в зависимости от изменения аргумента. Для «хороших» функций приращения функции и аргумента согласованы так, что их отношение равномерно ограничено $|\Delta y| / |\Delta x| \leq C$ в некоторой малой окрестности $|\Delta x| = |x - x_0| \leq \varepsilon$ точки x_0 положительной константой. С другой стороны, можно представить себе функцию, для которой небольшое изменение $|\Delta x|$ приводит к огромному значению $|\Delta y|$, так что $|\Delta y| / |\Delta x| \sim \infty$. Альтернативой может быть непостоянная функция, которая очень слабо реагирует на изменение аргумента, то есть $|\Delta y| / |\Delta x| \sim 0$. Можно обобщить все эти ситуации с помощью некоторой постоянной $\alpha(x_0)$, такой что в окрестности x_0 ограниченным является отношение $|\Delta y| / |\Delta x|^\alpha \leq C_H$. Величину $\alpha(x_0)$ называют *гельдеровским показателем регулярности* функции в точке x_0 , а постоянную C_H иногда называют *гельдеровской производной*. Ее геометрическим образом в x_0 является криволинейный «касательный» конус $\Delta y \sim |\Delta x|^\alpha$ [5].

Будем рассматривать значения функции в ε -окрестности некоторой точки $x \in R$ как количество массы [2] некоторой меры $\mu(\varepsilon)$. Ее универсальной аппроксимацией на $I \subset R$ является степенной закон $\mu(\varepsilon) \sim \varepsilon^{\alpha(x)}$, где $\alpha(x)$ называют *гельдеровским показателем сингулярности меры*. Если масса M распределена «атомарно», со значениями m_i в отдельных точках x_i носителя, то $\alpha = 0$ и $M = \sum_i m_i \delta(x - x_i)$. Равномерному распределению массы соответствует значение $\alpha = 1$ и абсолютно непрерывная мера μ с постоянной плотностью ρ , так что $M = \int_I \rho dx$. Для $\alpha < 1$ плотность меры расходится при $\varepsilon \rightarrow 0$, и такую меру называют *сингулярной*. Несколько неожиданным покажется то, что случай $\alpha = 2$ тоже объявляют сингулярным в $1D$. Для случая $2D$ мера сингулярна при $\alpha \neq 2$ и т.д. Множество точек носителя, имеющих меру с сингулярностью α в общем случае образуют фрактальное множество с размерностью $f(\alpha)$, а пару $(\alpha, f(\alpha))$ называют *мультифрактальным спектром*. В случае самоподобной меры график спектра является выпуклой вверх кривой. Способы вычисления такого спектра для разных ситуаций являются одной из задач мультифрактального анализа.

Мультифрактальная техника была введена в физику в 1986 г. статьей [6], хотя обобщенные размерности Реньи использовали тремя годами раньше [7] для описания странных аттракторов. Позднее были приведены строгие обоснования метода статистических моментов для оценки спектров самоподобных мер [8, 9]. Этот подход реферируется как *канонический* вариант формализма [10–15]. Можно развивать мультифрактальный формализм не только для мер, но и для функций [16]. Оказывается, что почти каждая функция в некоторых пространствах математической физики является мультифрактальной [17]. Грубо говоря, это означает, что гладких кривых намного меньше, чем кривых, которые можно провести не отрывая карандаш от листа бумаги.

Менее известен физикам *микрочанонический* вариант мультифрактального формализма [18, 19]. В нем показатели сингулярности и их спектр явным образом получаются из таких фундаментальных понятий, как гельдеровская регулярность радоновых мер. Здесь мультифрактальность перестает быть прерогативой ситуаций, связанных лишь с полностью развитой турбулентностью.

Основной задачей нашей статьи является изложение основ этого формализма на уровне технической строгости. Теоретические основы иллюстрируются на примере цифровых изображений – объектов, для которых этот вариант формализма выглядит настолько естественным, насколько это вообще возможно. Мы описываем мультифрактальное разложение изображения на сингулярные компоненты с использованием емкостей Шоке и приводим способ восстановления оригинала по множествам максимальной сингулярности.

1. Мера и размерность Хаусдорфа

Предполагая, что читатель знаком с основными понятиями теории меры, мы приведем здесь лишь некоторые основные сведения (см. [20, 21]). Наиболее известная мера Лебега является способом приписать подмножеству из R^n неотрицательное число, имеющее смысл его «размера». Представим себе однородное распределение массы в R^n такое, что любой единичный n -мерный куб содержит единичную массу. Тогда лебегова мера $\mu_L(A)$ компактного множества $A \in R^n$ – это просто количество массы, которое в нем содержится. Для интервала $I_n = [a_n, b_n] \in R$ эта мера – длина $\mu_L(I_n) = b_n - a_n$; для прямоугольника $P = [a_1, b_1] \times \dots \times [a_n, b_n]$ – это объем $\mu_L(P) = (b_1 - a_1) \times \dots \times (b_n - a_n)$. Для произвольного множества $A \in R^n$ мера Лебега определяется как нижняя граница мер прямоугольников, покрывающих A . При этом предполагается выполнение двух свойств:

$$\mu_L(\emptyset) = 0; \quad A \subset \bigcup_{i=1}^{\infty} A_i \Rightarrow \mu(A) \leq \sum_{i=1}^{\infty} \mu(A_i). \quad (1)$$

В общем случае мера на множестве X – это функция, которая приписывает каждому подмножеству $A \subset X$ неотрицательное число $0 \leq \mu(A) \leq \infty$, так что выполняются условия (1). Если мера μ уже определена, то множество $A \in X$ называют μ -измеримым, если оно аддитивно «расщепляет» любое другое множество $B \in X$, то есть $\mu(B) = \mu(B \cap A) + \mu(B \cap A^c)$, где A^c дополнение A в X . Иными словами, измерить множество, это значит разбить его на части с помощью эталонного множества.

Класс μ -измеримых множеств образует алгебру: дополнение к любому измеримому множеству – измеримо; счетное объединение и пересечение измеримых множеств также измеримы. Минимальную алгебру составляют так называемые борелевы множества: на R такими множествами являются обычные интервалы. Мера μ называют борелевской регулярной мерой, если для каждого множества A существует такое борелево множество $B \supset A$, которое «аппроксимирует» меру A : $\mu(B) = \mu(A)$. Если такая регулярная мера конечна для любого компактного множества, ее называют мерой Радона. Меры Радона в R^n получают следующим образом. Выберем фиксированный масштаб r и покроем тело F непересекающимися кубами или шарами размером r . Пусть $N(r)$ – их минимальное число. Тогда мера – длина, площадь или объем – определяется выражением

$$m(F) = N(r) r^d, \quad (2)$$

где $d = 1, 2, 3$ называют *емкостью* или *бокс-размерностью* F . Формулу (2) можно рассматривать как определение d . Действительно, с точностью до нормировки

$$d = - \lim_{r \rightarrow 0} (\log N(r) / \log r) \quad (3)$$

в предположении, что предел существует. Поскольку размерность заранее не известна, будем перебирать все возможные пробные значения d , пока не найдется такое из них, для которого $m(F)$ в пределе $r \rightarrow 0$ равняется *конечному* числу. Пусть, например, $\gamma : [0, 1] \rightarrow R^2$ – фрагмент спрямляемой кривой длиной l . Необходимое для покрытия фрагмента число r шаров составляет $N(r) = l/r$ и мера (2) равна $m(\gamma) = lr^{d-1}$. Легко убедиться, что для $d > 1$ мера $m(\gamma) \rightarrow 0$ при $r \rightarrow 0$ и $m(\gamma) \rightarrow \infty$, если $d < 1$. Между ними существует единственное «правильное» значение $d = 1$, которому и соответствует конечное значение меры $m(\gamma) = l$. Мы будем неоднократно использовать ниже этот прием: необходимая для нас величина α должна обладать свойством «точки перехода» – для любого $\beta > \alpha$ некоторая мера равна нулю, а для любого $\beta < \alpha$ она бесконечна. Размерность, которую определяет формула (3), часто называют *фрактальной*.

Дальнейшее обобщение связано с заменой шаров покрытия на произвольные взаимно пересекающиеся множества [2, 20, 21]. Счетное семейство подмножеств $A = \{A_i\}$ называют *счетным ε -покрытием* множества F , если $F \subseteq \bigcup_i A_i$ и для всех A_i справедливо неравенство $\text{diam } A_i \leq \varepsilon$, $\text{diam } A = \sup_{x,y \in A} \|x - y\|$. Определим *крупнозернистую α -мерную меру Хаусдорфа*, как [2, 20, 21]

$$\mu_{\text{H}}^{\alpha}(\varepsilon, F) = \inf \sum_{A_i \in \mathcal{A}} (\text{diam } A_i)^{\alpha}, \quad (4)$$

где нижняя грань берется по всем счетным ε -покрытиям. Предел

$$\mu_{\text{H}}^{\alpha}(F) = \lim_{\varepsilon \rightarrow 0} \mu_{\text{H}}^{\alpha}(\varepsilon, F) \quad (5)$$

называют *α -мерной мерой Хаусдорфа*. Эта мера обладает приятными свойствами. Так, в метрическом пространстве R для конечного множества A одномерная мера Хаусдорфа совпадает с мерой Лебега: $\mu_{\text{H}}^1(A) = m(A)$. Если A состоит из n точек, то мера $\mu_{\text{H}}^0(A) = n$. Легко понять, что вычислить меру (5) практически невозможно. Однако ее можно оценить, используя один результат из геометрической теории меры [22]. Пусть мера Радона $\mu[B_r(x)]$ для шара $B_r(x)$, окружающего каждую точку $x \in A$ борелева множества $A \subset R^n$, удовлетворяет условию

$$\lim_{r \rightarrow 0} (\log \mu[B_r(x)] / \log |r^{\alpha}|) = 1, \quad 0 < \alpha \leq n. \quad (6)$$

Тогда существует постоянная $C = C(\alpha, n)$ такая, что

$$\mu(A) \geq C \lambda \mu_{\text{H}}^{\alpha}(A), \quad 0 < \lambda < \infty. \quad (7)$$

Иными словами, α -мерную меру Хаусдорфа можно аппроксимировать более доступной для измерения мерой Радона, если последняя удовлетворяет «скейлингу»

$$\mu[B_r(x)] \sim r^{\alpha}. \quad (8)$$

Рассмотрим теперь поведение $\mu_{\mathbb{H}}^{\alpha}(F)$ как функции α , используя прием, описанный выше. Когда α увеличивается, мера уменьшается. Пусть F – борелево множество и $0 < \alpha < s$. Тогда, если $\mu_{\mathbb{H}}^{\alpha}(F) < \infty$, то $\mu_{\mathbb{H}}^s(F) = 0$. Напротив, если $\mu_{\mathbb{H}}^s(F) > 0$, то $\mu_{\mathbb{H}}^{\alpha}(F) = \infty$. Можно доказать, что для F существует единственное критическое значение $\alpha_0 \in [0, \infty]$, такое что $\mu_{\mathbb{H}}^{\alpha}(F) = \infty$ для всех $\alpha < \alpha_0$ и $\mu_{\mathbb{H}}^{\alpha}(F) = 0$ для всех $\alpha > \alpha_0$. Эту величину

$$\alpha_0 = \dim_{\mathbb{H}} F = \sup \{ \alpha \mid \mu_{\mathbb{H}}^{\alpha}(F) = 0 \} = \inf \{ \alpha \mid \mu_{\mathbb{H}}^{\alpha}(F) = \infty \} \quad (9)$$

и называют *размерностью Хаусдорфа* [2, 3, 20]. Можно показать, что если A и B – борелевы множества, то

$$A \subseteq B \Rightarrow \dim_{\mathbb{H}} A \leq \dim_{\mathbb{H}} B; \quad \dim_{\mathbb{H}}(A \cup B) = \max \{ \dim_{\mathbb{H}} A, \dim_{\mathbb{H}} B \}. \quad (10)$$

2. Абстрактный мультифрактальный формализм

Пусть $X \subset \mathbb{R}$ и $g : X \rightarrow [-\infty, +\infty]$ – непрерывная функция. Проведем на графике $(x, g(x))$ горизонтальную прямую $g(x) = \alpha$ и рассмотрим для разных α множества уровней $K_{\alpha}^g = g^{-1}(\alpha) \cap X$, то есть множества точек носителя, в которых $g(x)$ пересекается с прямой [23] (рис. 1)

$$K_{\alpha}^g = \{ x \in X \mid g(x) = \alpha \}. \quad (11)$$

Их называют компонентами *мультифрактального разложения* X , так как

$$X = \bigcup_{-\infty \leq \alpha \leq +\infty} K_{\alpha}^g. \quad (12)$$

Термин «мультифрактальный» означает, что каждая из компонент K_{α}^g образована конечным числом точек, так что $\dim_{\mathbb{H}}(K_{\alpha}^g) \leq 1$, как для фрактала. Таким образом, X расслаивается на различные «фрактальные» множества относительно функции g . Целочисленную многозначную функцию, равную числу пересечений графика $g(x)$ с нашей прямой

$$\mathcal{N}(\alpha, g, K_{\alpha}^g) = \# \{ x \mid g(x) = \alpha \}, \quad (13)$$

называют *индикатрисой Банаха*. Для $X = [a, b]$ она равна $\mu_{\mathbb{H}}^0(g^{-1}(\alpha) \cap [a, b])$, то есть равна нульмерной мере Хаусдорфа множества точек пересечения.

Для «измерения» каждой компоненты K_{α}^g выберем монотонную функцию множества, например, размерность Хаусдорфа, $f_{\mathbb{H}}(\alpha) = \dim_{\mathbb{H}}(K_{\alpha}^g)$, которая обладает нужным свойством (см.(10)). Пару $(\alpha, f_{\mathbb{H}}(\alpha))$ называют *мультифрактальным спектром* относительно $g(x)$.

Наша ближайшая цель – выбор подходящей функции $g(x)$. Мы используем для этого гильдеровский показатель регулярности функции.

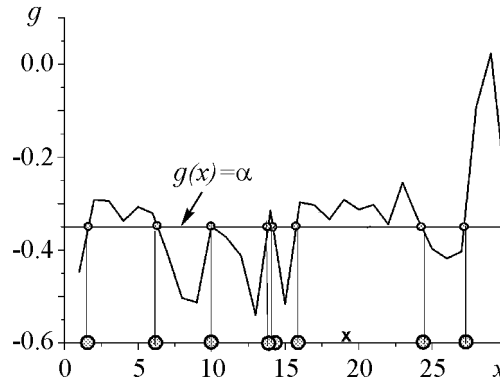


Рис. 1. Компонента мультифрактального разложения для $\alpha = -0.35$ относительно графика $g(x)$ (показана кружками на оси абсцисс)

3. Гельдеровская регулярность функций

Пусть $f : R \rightarrow R$ – функция, $n \leq \alpha \leq n + 1, n \in Z$ и $x_0 \in R$ – некоторая точка. Говорят, что $f \in C^\alpha(x_0)$, если существует число $\delta > 0$, полином P_n степени n и постоянная C , такие что для любой точки x из δ -окрестности x_0 справедливо неравенство [24–27]

$$|f(x) - P_n(x - x_0)| \leq C|x - x_0|^\alpha. \quad (14)$$

Случай $n = 0$ в (14) приводит к стандартному определению липшиц-непрерывности для функции. *Поточечным гельдеровским показателем (экспонентой) f в точке x_0* называют величину

$$\alpha_p(x_0) = \sup \{ \alpha | f \in C^\alpha(x_0) \} \quad (15)$$

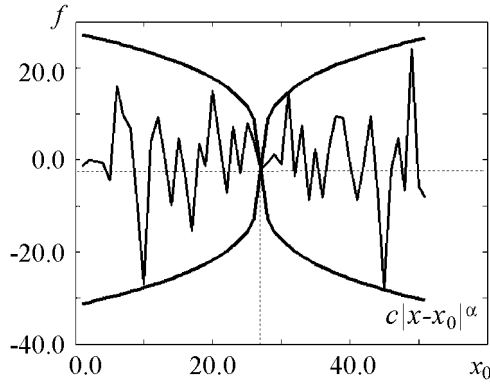


Рис. 2. Гельдеровская регулярность функции

Приведем геометрическую интерпретацию [24] этого показателя (рис. 2). Считаем, что функция f имеет показатель α в x_0 , если ее график $\{x, f(x)\}$ в окрестности x_0 эквивалентен кривой $x \rightarrow f(x_0) + c|x - x_0|^\alpha$ в следующем смысле. График f для любого $\varepsilon > 0$ ограничен в этой окрестности огибающей, состоящей из пары кривых: $x \rightarrow f(x_0) + c|x - x_0|^{\alpha-\varepsilon}$ и $x \rightarrow f(x_0) - c|x - x_0|^{\alpha-\varepsilon}$. Указанное свойство нарушается для любых $\varepsilon < 0$.

Можно доказать [27], что полином P_n в (14) состоит из первых $(n + 1)$ членов разложения функции $f(x)$ в окрестности точки x_0 в ряд Тейлора

$$f(x) = c_0 + c_1(x - x_0) + \dots + c_n(x - x_0)^n + C|x - x_0|^{\alpha(x_0)}, \quad (16)$$

где $c_0 = f(x_0)$, $c_k = (1/k!) \partial^k f(x)|_{x_0}$, $k \geq 1$ и $\partial^k f(x) \equiv \partial^k f / \partial x^k$. Усеченный до членов k -го порядка ряд Тейлора называют *k-струей*. Таким образом, анализ регулярности сводится к последовательному вычитанию k -струй и оценки остатка.

В общем случае, когда $n \leq \alpha \leq n + 1$, функция $f(x)$ в точке x_0 имеет n производных, но ее $(n + 1)$ -я производная не ограничена. Если она ограничена, но разрывна, n -я производная не является сингулярной. Рассмотрим, например, функцию

$$f(x) = \begin{cases} 0, & x < 0, \\ x, & x \geq 0. \end{cases} \quad (17)$$

Ее производная является функцией Хевисайда; она разрывна, но ограничена в точке $x = 0$. Следовательно, $f(x)$ не сингулярна в этой точке. Можно показать, что в этой точке $\alpha = 1$.

4. Микроканонический мультифрактальный формализм

Микроканонический формализм оценивает локальные масштабные свойства мультифрактальных мер *геометрически*, а не статистически [18, 19, 28–30]. Ниже мы будем иметь дело с цифровыми изображениями, то есть с дискретным полем яркости $I(\mathbf{x})$, $\mathbf{x} \in \mathbb{Z} \times \mathbb{Z}$, заданным на ограниченной области A квадратной решетки. Под точкой $\mathbf{x} \equiv (x_1, x_2)$, в зависимости от контекста, мы будем понимать либо координаты центра пиксела, либо сам пиксел. Часто удобнее работать с отклонениями от среднего значения $I_0 = \langle I(\mathbf{x}) \rangle$ уровня серого, подсчитанного для всего изображения, то есть с глобальным *полем контрастности*:

$$c(\mathbf{x}) \equiv I(\mathbf{x}) - I_0, \quad \langle c(\mathbf{x}) \rangle_{\mathbf{x} \in A} = 0. \quad (18)$$

Теперь нам нужна мера μ для каждого компактного множества A на изображении. Ее можно определить следующим образом [19, 31]:

$$\mu(A) \equiv \int_{\mathbf{x} \in A} d\mu(\mathbf{x}), \quad (19)$$

где плотность меры для $c(\mathbf{x})$ в предположении локальной гладкости изображения описывается выражением [19, 27]

$$d\mu(\mathbf{x}) \equiv |\nabla c|(\mathbf{x}) d\mathbf{x}, \quad |\nabla c|(x_1, x_2) = \left(|\partial c(\mathbf{x})/\partial x_1|^2 + |\partial c(\mathbf{x})/\partial x_2|^2 \right)^{1/2} \quad (20)$$

и частные производные понимаются в смысле их аппроксимации разделенными разностями. Заметим, что, вообще говоря, «истинного» изображения $u(\mathbf{x})$ не существует. Мы всегда имеем дело с интегралом $\langle u, \phi \rangle = \int_A u(\mathbf{x}) \phi(\mathbf{x}) dx_1 dx_2$, где $\phi(\mathbf{x})$ – функция с компактным носителем, или сенсор-ячейка CCD-приемника или сетчатки глаза. Таким образом, описание изображений попадает в контекст теории обобщенных функций (распределений) и производные можно понимать в слабом смысле [32]. Условие $\langle u, \phi \rangle \geq 0$ эквивалентно непрерывности «обобщенного» изображения или существованию единственной меры Радона на A . Выбор меры в форме (19) связан с пространствами Соболева и понятием функций с ограниченной вариацией [31]. Напомним, что полной вариацией функции $f(x) \in C^1$ называют величину [22, 27, 31]

$$\|f\|_V = \int_{-\infty}^{+\infty} |f'| dx. \quad (21)$$

Если мы имеем дело с функцией $y = f(x)$ на ограниченном интервале и $\{x_p\}$ – множество особых точек, в которых производная обращается в нуль, то полная вариация определяется суммой

$$\|f\|_V = \sum_p |f(x_{p+1}) - f(x_p)|. \quad (22)$$

Наконец, если функция f не дифференцируема в обычном смысле, то используется аппроксимация

$$\|f\|_V = \lim_{\varepsilon \rightarrow 0} \int_{-\infty}^{+\infty} \varepsilon^{-1} |f(x + \varepsilon) - f(x)| dx. \quad (23)$$

Известная *формула Банаха об индикатрисе* утверждает, что вариация функции совпадает с суммой индикатрис по уровню [22, 27, 31]:

$$\|f\|_V = \int_a^b |f'| dx = \int_{-\infty}^{+\infty} \mathcal{N}(y, f) dy. \quad (24)$$

Выражение (19) – это двухмерный аналог (21) и, следовательно, наша мера измеряет полную вариацию контраста в области. Ее можно оценить, используя теорему об индикатрисе. Рассмотрим, ради простоты, регулярный случай. Пусть $\Omega \in R^2$ и $f(x, y) \in C^2$ – гладкая поверхность. Тогда множество ее морсовских особых точек $E = \{(x, y) | \nabla f = 0\}$, по теореме Морса–Сарда, не образует связного множества, то есть $\mu_H^1(E) = 0$. С другой стороны, множество ее уровней $S = f^{-1}(t) \cap \Omega$ будет одномерным C^2 -многообразием почти для каждого t . Индикатрисы – это множество $\mu_H^1(f^{-1}(t) \cap \Omega)$, образованное длинами изолиний, полученных пересечением графика $\{(x, y), z = f(x, y)\}$ с плоскостью $z = t$. Вариация $\|f\|_V$ определяется теперь так называемой формулой *ко-площади*, которая справедлива для всех липшицевских функций [21, 22, 31]

$$\|f\|_V = \int_{-\infty}^{+\infty} \mu_H^1[f^{-1}(t) \cap \Omega] dt. \quad (25)$$

Пусть $\mu[B_r(\mathbf{x})]$ мера Радона для шара $B_r(\mathbf{x})$, окружающего каждую точку $\mathbf{x} \in A$. Используя выражение (8) мы полагаем, что для достаточно малых окрестностей точки справедлива следующая аппроксимация [19, 29]:

$$\mu[B_r(\mathbf{x})] = a(\mathbf{x}) r^{h(\mathbf{x})} + o(r^{h(\mathbf{x})}). \quad (26)$$

Здесь гильдеровские показатели обозначены через $h(\mathbf{x})$, чтобы отличить их от общего случая (14), а $o(r^{h(\mathbf{x})})$ обозначают члены более высокого порядка малости, нежели $r^{h(\mathbf{x})}$. Коэффициенты $a(\mathbf{x})$ зависят от выбора метрики, используемой для определения шаров и шкалы масштабов. Напротив, $h(\mathbf{x})$ не зависят от метрики и дают всю информацию об эволюции меры при изменении масштаба. Они могут быть получены с помощью линейной регрессии $\log \mu(B_r(\mathbf{x})) = h(\mathbf{x}) \log r$ [33]. Такой вариант получения оценок показателей реферируют как *микрoканонический вариант* мультифрактального формализма [18, 19].

5. Емкости Шоке и многообразия максимальной сингулярности

В численных методах из-за большой вариабельности контраста обычно не удается хорошо определить градиент: при уменьшении размера окрестности последовательность оценок не меняется монотонно при уменьшении цифрового радиуса

окрестности. Чтобы обойти эту трудность, можно вместо обычной борелевой меры – суммы уровней серого в пикселах – использовать так называемые *емкости Шоке* [34]. Они удовлетворяют слабую условие аддитивности и гарантируют монотонность при изменении масштаба. Точнее, емкостью называют неубывающую функцию $\omega(A)$ множества, которая имеет два свойства. Для возрастающей последовательности вложенных подмножеств $\dots, \subset A_n \subset A_{n+1} \subset \dots$: $\omega(\bigcup_n A_n) = \sup_n \omega(A_n)$. Если $\{A_n\}$ – убывающая последовательность подмножеств $\dots, \supset A_n \supset A_{n+1} \supset \dots$, то $\omega(\bigcap_n A_n) = \inf_n \omega(A_n)$.

Не останавливаясь на деталях [30, 34, 35], определим три емкости Шоке μ_{\max} , μ_{\min} и μ_{iso} для области Ω цифрового изображения следующим образом. Пусть $\Omega^* \subset \Omega$ – подмножество, в котором для любого пиксела i интенсивность или контраст $p(i) \neq 0$. Определим емкость как максимальное или минимальное значение $p(i)$

$$\mu_{\max}(\Omega) = \max_{i \in \Omega} p(i), \quad \mu_{\min}(\Omega) = \min_{i \in \Omega^*} p(i). \quad (27)$$

Третья емкость μ_{iso} зависит от дискретизации уровней серого. Будем считать два пиксела i и j эквивалентными $p_\delta(i) \approx p_\delta(j)$, если уровни серого в них не различаются с точностью до заданного фиксированного числа δ , то есть $|p(i) - p(j)| < \delta$. Тогда

$$\mu_{\text{iso}} = \#\{i \in \Omega : p_\delta(i) = p_\delta(G(\Omega))\}, \quad (28)$$

где $G(\Omega)$ – геометрический центр Ω , а $\#$ – число пикселей. Очевидно, что все три емкости монотонно изменяются с размерами окрестности. Заметим, что $\mu_{\max}(\Omega)$ и $\mu_{\min}(\Omega)$ зависят только от значений уровня серого, в то время как $\mu_{\text{iso}}(\Omega)$ – только от распределения уровней серого. Используя емкости Шоке, мы можем вычислить геллеровские показатели для цифрового изображения. Затем для каждого из h мы сможем получить компоненту мультифрактального разложения $F_h = \{\mathbf{x} \in \Omega \mid h(\mathbf{x}) = h\}$ (см. раздел 2) – так называемое *singular manifold* (SM) [19, 28]. Размерность Хаусдорфа $d_H F_h = D(h)$ можно оценить, используя бокс-размерность см. (3). Для покрытия точек F_h необходимо $N_h(\varepsilon) \sim \varepsilon^{-D(h)}$ боксов размером ε из общего числа $N(\varepsilon) \sim \varepsilon^{-2}$ боксов, покрывающих всю Ω . Следовательно, вероятность наблюдать сингулярность h на масштабе ε ведет себя в пределе малых ε как [36]

$$P_\varepsilon(h) \propto N_h(\varepsilon) / N(\varepsilon) \sim \varepsilon^{2-D(h)}. \quad (29)$$

Таким образом, для оценки мультифрактального спектра $(h, D(h))$ в этом варианте формализма можно использовать частотную гистограмму вычисленных показателей [18, 19, 29]. Напомним, что, чем меньше h , тем больше сингулярность соответствующей меры. Минимальным значениям показателя соответствуют так называемые *most singular fractal manifolds* (MSM) [28, 37]. Наиболее интересны из них те, для которых $D(h) \approx 1$, то есть F_h представляют собой контуры. Они играют особую роль при распознавании образов – мы можем узнать человека, располагая лишь контурным рисунком – шаржем. На рис. 3 приведен пример MSM для диапазона показателей $0 < h \leq 1$.

Самое удивительное заключается в том, что MSM образует такой *скелет изображения*, который позволяет восстановить исходную картину с помощью простого

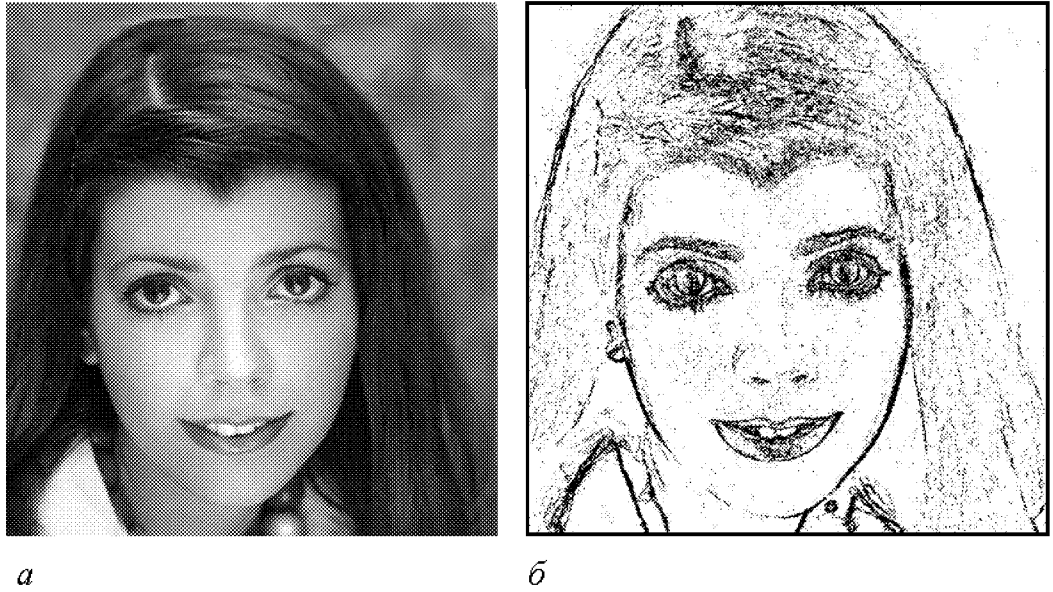


Рис. 3. Оригинал (а) и MSM для $0 < h \leq 1$ (б)

пропагатора – оператора восстановления. Это дает возможность сохранять исходную информацию в чрезвычайно компактной форме, поскольку MSM описываются матрицами с большим количеством нулей.

Задача восстановления ставится следующим образом [37]: необходимо восстановить изображение $I(\mathbf{x})$, то есть значение интенсивности в каждой точке, по информации об изменении градиента интенсивности в точках MSM, множество которых мы обозначим как F_∞ . Для того чтобы построить пропагатор, выбираются следующие условия [30, 37].

- Пропагатор – линейная функция градиента на MSM

$$|\nabla I(\mathbf{x})| = \mathbf{G} [|\nabla I|_{F_\infty}], \quad \nabla I(\mathbf{x}) = \int_{F_\infty} \mathbf{G}(\mathbf{x}, \mathbf{y}) \nabla I(\mathbf{y}) d\mathbf{l}(\mathbf{y}). \quad (30)$$

- Пропагатор инвариантен относительно сдвигов

$$\nabla I(\mathbf{x}) = \int_{F_\infty} \mathbf{G}(\mathbf{x} - \mathbf{y}) \nabla I(\mathbf{y}) d\mathbf{l}(\mathbf{y}) = \int_{F_\infty} \mathbf{g}(\mathbf{x} - \mathbf{y}) \nabla I(\mathbf{y}) d\mathbf{l}(\mathbf{y}), \quad \mathbf{G}_{ij} = \partial_i g_j(\mathbf{x}). \quad (31)$$

Определим множество градиентов на MSM как $\mathbf{v}_0(\mathbf{x}) = \nabla I(\mathbf{x}) \delta_{F_\infty}$. Тогда

$$I(\mathbf{x}) = \int_{F_\infty} \mathbf{g}(\mathbf{x} - \mathbf{y}) \mathbf{v}_0(\mathbf{y}) d\mathbf{l}(\mathbf{y}) = \mathbf{g} \circ \mathbf{v}_0(\mathbf{x}), \quad (32)$$

где (\circ) обозначает свертку. Если в (32) перейти к фурье-представлению $I^*(\mathbf{x})$, добавить условия изотропности и эквивалентности спектров мощности оригинала и его

фурье-реконструкции, то простейшая функция $g(f)$, удовлетворяющая всем этим свойствам, имеет вид [37]

$$g(f) = \|g(f)\|f/f, \quad \|g(f)\| = f^{-1}, \quad g^*(f) = if/f^2, \quad i = \sqrt{-1}. \quad (33)$$

В результате получается следующее выражение для фурье-реконструкции изображения:

$$I^*(f) = i(f \cdot v_0^*)f^{-2}. \quad (34)$$

Для иллюстрации на рис. 4 приведены оригинальное изображение второго автора статьи, его гельдеровская карта, MSM и реконструкция с помощью описанного про-



Рис. 4. Реконструкция изображения по сингулярным многообразиям: *a* – оригинал, *б* – карта гельдеровских экспонент; *в* – MSM, $0 < h(x) \leq 2$; *г* – реконструкция

пагатора. Хотя для реконструкции использовалось лишь 38% показателей $h(x)$, она визуально мало отличается от оригинала.

В заключение отметим, что описанные методы имеют чрезвычайно широкий круг применений. Действительно, современные экспериментальные данные большей частью являются матричными, то есть они представлены цифровыми изображениями. С ними приходится иметь дело в медицине, геофизике, дистанционном зондировании Земли из Космоса, астрономии и многих других областях знания. Удивительно, но практически все природные изображения с достаточно высоким пространственным разрешением – мультифрактальны, то есть имеют свойство статистической масштабной инвариантности. Как раз оно и обеспечивает эффективность методов, изложенных в статье. Кроме геометрии, изображение имеет еще и топологию (алгебраическую структуру): два фрактала могут иметь одинаковую размерность, но различаться «пористостью» меры. О методах извлечения топологии из изображений мы собираемся рассказать в нашей следующей статье.

Библиографический список

1. *Barnsley M.* Fractals Everywhere. N.Y.: Academic Press, 1988. 531 p.
2. *Falconer K.* Fractal Geometry. Mathematical Foundations and Applications. Wiley. 2003.
3. *Falconer K.* Techniques in Fractal Geometry. Wiley & Sons. 1997. 256 p.
4. *Макаренко Н.Г., Каримова Л.М., Мухамеджанова С.А., Князева И.С.* Система итеративных функций и марковский прогноз временных рядов // Изв. вузов. Прикладная нелинейная динамика. 2006. т. 14, № 6. С. 3.
5. *Зельдович Я.Б., Соколов Д.Д.* Фракталы, подобие, промежуточная асимптотика // УФН . 1985. Т. 146. С. 493.
6. *Halsey T.C., Jensen M.H., Kadanoff L.P., Procaccia I., Schraiman B.I.* Fractal measures and their singularities: the characterization of strange sets // Phys.Rev. A. 1986. Vol. 33. P. 1141.
7. *Grassberger P., Procaccia I.* On the characterization of strange attractors // Phys.Rev. Lett. 1983. Vol. 50. P. 346.
8. *Falconer K. J.* The multifractal spectrum of statistically self-similar measures // J. Theor. Prob. 1994. Vol. 7. P.681.
9. *Mach J., Mas F., Saguus F.* Two representations in multifractal analysis // J.Phys. A: Math.Gen. 1995. Vol. 28. P.5607.
10. *Павлов А.Н., Анищенко В.С.* Мультифрактальный анализ сложных сигналов // УФН. 2007. Т.177. С.859
11. *Короленко П.В., Маганова М.С., Меснянкин А.В.* Новационные методы анализа стохастических процессов и структур в оптике. Фрактальные и мультифрактальные методы, вейвлет преобразования. М.: НИИЯФ, МГУ, 2004.
12. *Riedi R.H.* Multifractal processes // Long-range dependence: theory and applications / Eds P. Doukhan, G. Oppenheim and M.S. Taqqu. Birkhäuser, 2002. P. 625.
13. *Федер Е.* Фракталы. М.: Мир, 1991. 260 с.
14. *Божокин С.В., Паршин Д.А.* Фракталы и мультифракталы. Москва-Ижевск: РХД, 2001. 128 с.

15. *Harte D.* Multifractals: theory and applications. CRC Press, 2001. 247 p.
16. *Jaffard S.* Multifractal formalism for functions. Part I: Results valid for all functions // *SIAM J. Math. Anal.* 1997. Vol. 28. P. 944.
17. *Fraysse A., Jaffard S.* How smooth is almost every function in a Sobolev space? // *Rev. Mat. Iberoamericana.* 2006. Vol. 22. P. 663.
18. *Arneodo A., Bacry E., Muzy J.F.* The thermodynamics of fractals revisited with wavelets // *Physica A.* 1995. Vol. 213. P. 232.
19. *Turiel A., Yahia H., Pérez-Vicente C. J.* Microcanonical multifractal formalism – a geometrical approach to multifractal systems: Part 1. Singularity analysis // *J. Phys. A: Math. Theor.* 2008. Vol. 41. 015501.
20. *Edgar G.* Measure, Topology, and Fractal Geometry. Springer. 2008. 268 p.
21. *Morgan F.* Geometric Measure Theory. A Beginner's Guide. Academic Press. 2000.
22. *Ziemer W.P.* Weakly differentiable functions, Graduate Texts in Mathematics. Vol. 120, New York, Springer-Verlag, 1989. 370 p.
23. *Barreira L., Pesin Y., Schmeling J.* On a general concept of multifractality: Multifractal spectra for dimensions, entropies, and Lyapunov exponents. Multifractal rigidity // *Chaos.* 1997. Vol. 7. P. 27.
24. *Barriere O., Levy Vehel J.* Local Hölder regularity-based modeling of RR intervals // *CBMS 2008. 21th IEEE Internat. Symp. on Computer-Based Medical Systems,* June 17–19, 2008, Jyväskylä, Finland, 2008.
25. *Daoudi K, Levy Vehel J., Meyer Y.* Construction of continuous functions with prescribed local regularity // *Constructive Approximation.* 1998. Vol. 014(03). P. 349.
26. *Mallat St., Hwang W.* Singularity detection and processing with wavelets // *IEEE Trans. Info. Theory.* 1992. Vol. 38. P. 617.
27. *Mallat St.* A Wavelet Tour of Signal Processing. Academic Press, 1999. 851 p.
28. *Turiel A., Parga N.* The multi-fractal structure of contrast changes in natural images: from sharp edges to textures // *Neural Computation.* 2000. Vol. 12. P. 763.
29. *Turiel A., Pérez-Vicente C.J., Grazzini J.* Numerical methods for the estimation of multifractal singularity spectra: a comparative study // *J. Computat. Phys.* 2006. Vol. 216. P. 362.
30. *Макаренко Н. Г.* Геометрия изображений // *Лекции по нейроинформатике.* М.: МИФИ, 2009. С. 89.
31. *Chan T.F., Shen J.* Image processing and analysis. Variational, PDE, wavelet and stochastic methods. SIAM. 2005. 400 p.
32. *Florack L.M.J.* Mathematical Techniques for Image Analysis. Eindhoven University of Technology. 2008. 100 p.
33. *Pont O., Turiel A., Pérez-Vicente C.J.* Applications of the microcanonical formalism to monofractal systems // *Phys. Rev. E.* 2006. Vol. 74. P. 061110(1).
34. *Levy Vehel J., Vojak R.* Multifractal analysis of Choquet capacities: Preliminary results // *Advances in Applied Mathematics.* 1998. Vol.20. P. 1.
35. *Макаренко Н.Г., Круглун О.А., Макаренко И.Н., Каримова Л.М.* Мультифрактальная сегментация данных дистанционного зондирования // *Исследование Земли из Космоса.* 2008, № 3. С. 18

36. *Riedi R., Scheuring I.* Conditional and relative multifractal spectra // *Fractals*.1997. Vol. 5. P.153.
37. *Turiel A., del Pozo A.* Reconstructing images from their most singular fractal manifold // *IEEE Trans. on Image Processing*. 2002. Vol. 11. P. 345.

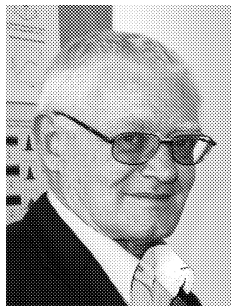
Поступила в редакцию 8.07.2009

MULTIFRACTAL ANALYSIS OF DIGITAL IMAGES

N.G. Makarenko, I.S. Knyazeva

The article is based on the lecture that was given by the first author at the school StatInfo-2009. In the first part the microcanonical variant of multifractal formalism is reviewed. Possibilities for digital image analysis and reconstruction are discussed at the level of technical strictness.

Keywords: Fractals, multifractal analysis, digital images.



Макаренко Николай Григорьевич – родился в Троицке (1945). Окончил Уральский государственный университет им. Горького (Свердловск) по специальности «Астрономия». Главный научный сотрудник ГАО РАН, д.ф.-м.н. Главный научный сотрудник, д.т.н. лаборатории Компьютерного Моделирования (Институт математики, Алма-Ата, Казахстан). Область научных интересов: фрактальная геометрия, вычислительная топология, детерминированный хаос, нейронные сети, физика Солнца. Имеет более 80 научных публикаций.

196140 Санкт-Петербург, Пулковское шоссе, 65/1
Главная астрономическая обсерватория РАН
E-mail: ng-makar@mail.ru



Князева Ирина Сергеевна, 1983 года рождения, окончила физический факультет Санкт-Петербургского государственного университета (2007), после чего поступила в аспирантуру ГАО РАН. Область научных интересов – фрактальная геометрия, анализ изображений, нейронные сети, прогноз временных рядов.

196140 Санкт-Петербург, Пулковское шоссе, 65/1
Главная астрономическая обсерватория РАН
E-mail: iknyazeva@gmail.com